

II-152 振動半円柱列上の定常流れの三次元構造

九州大学応用力学研究所 学生員 松永 信博
 " 正員 本地 弘之
 " " 金子 新

1. はじめに

振動流中で、通常形成される巻離を伴う二次元カニド・リップルが、適当な振動条件のもとで、ブリック・パタン・リップル(図-1)に遷移することを、金子¹⁾は詳しく観測している。また、最近、本地²⁾は、静水槽中で単円柱を直徑方向に振動させたとき、あら条件のもとで、図-2に示されれるようす円柱軸方向に、周期的す流れの三次元構造が、誘起されるることを見出した。このようす流れの三次元構造は、ブリック・パタン・リップルの形成機構に関して、重要な示唆を与えるものと考えられる。簡単のために、本研究では波型底面の代りに、平板に固定された半円柱列を振動させ、そして誘起される三次元構造をもつた流れが、詳しく調べられていく。

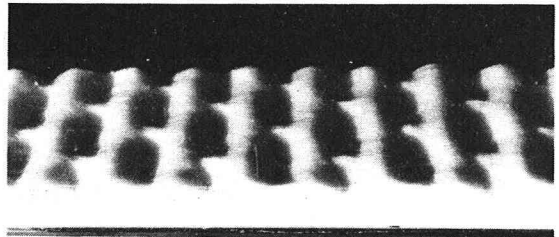
2. 実験装置及び方法

実験は、静水槽(横45cm、深さ20cm、奥行24cm)中で、図-3に示されているようす平板に固定された半円柱列($\lambda=2.5\text{cm}$, $\alpha=D/2=0.7\text{cm}$)を矢印の方向に振動させることによりて行われた。流れを可視化する方法として、電解沈殿法とアルミ粉法が用いられた。種々の角度から流れの構造を観察するために、図示されているようすA, B, C面が、照射され、水槽に固定されたカメラで、各断面における流れの構造が撮影された。

A面：平板に平行な面 B面：半円柱列に垂直な面
 C面：振動方向に垂直な面

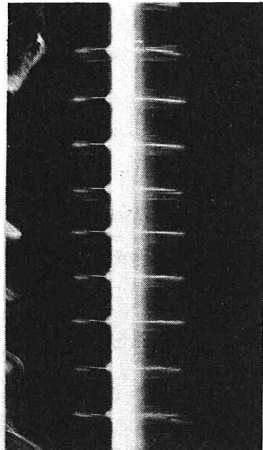
3. 考察

図-4は、アルミ粉法によて種々の照射面で可視化された流れのパターンを示す。実験条件は、 $f=0.36\text{Hz}$, $d_0=1.4\text{cm}$, $V=0.012\text{cm}^2/\text{s}$ であった。図-4 a)は、平板よりXだけ離れたA面を照射することによる得られたものである。流れは、図-2で示された円柱表面近くのものと類似した三次元構造を示している。流れのパターンは、隣り合う半円柱上で、交互に配列し、そしてブリック・パタンを形成している。このことは、隣り合う円柱間の相互作用の存在を示唆している。図-4 b)は、平板より3Xはす



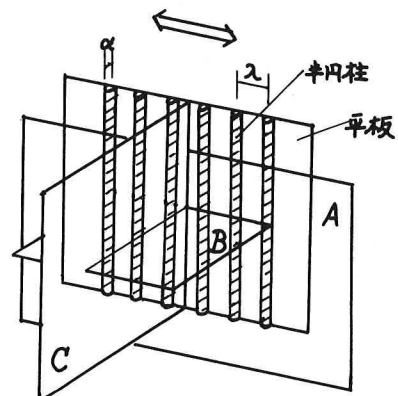
△ 図-1

ブリック・パタン・リップル
 [条件: $f=1.62\text{Hz}$, $d_0=5.1\text{cm}$, $V=0.012\text{cm}^2/\text{s}$, $G=0.02\text{cm}$]



△ 図-2

振動円柱回りの三次元流れ
 円柱振動方向：左右
 可視化方法：電解沈殿法
 [条件: $f=0.236\text{Hz}$, $d_0=2.2\text{cm}$, $V=0.012\text{cm}^2/\text{s}$, $D=3.77\text{cm}$]



△ 図-3

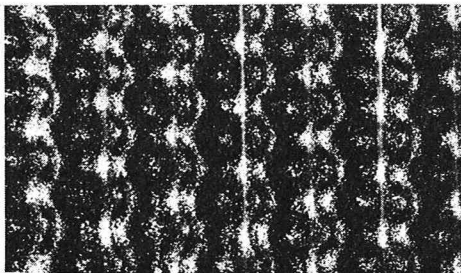
半円柱列モデルと、照射面

れてA面において可視化された流れの構造である。図-4aと同様、平板から、ほぼ入射直前に位置においても、明らかに流れがブリッフ・パターンを形成していることがわかる。図-4c,dは、それがB,C面を照射したときの流れの構造を示したものである。微小振動条件のもとで、模型波面上に形成される二次元定常流れは、図-4cに示されるように、三次元構造の発達に伴い、1半円柱あたりに観察されるようになる。以上、図-4で示された写真より、水平、高さスケールとともに、ほぼ入射のオーダーをもて定常流れが、ブリッフ・パターン状に配列していくことがわかる。実際のブリッフ・パターン・リップルは、二次元的で通常のサンド・リップルの形成に引き続いで発達することができる。このことは、図-5に示されるように半円柱列の間に數々結められた砂粒子によることで、ブリッフ・パターン・リップルが形成されることが明らかである。今後の問題は、ブリッフ・パターン・リップルが形成される条件と完全に対応した条件のもとで、流れの構造を可視化することである。

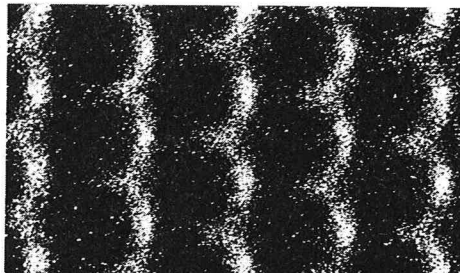
《参考文献》 1) 金子新: "Oscillatory sand ripples in viscous fluids" 土木学会論文集投稿中

2) 本地弘之: "Streaked streaming around an oscillatory circular cylinder," J.F.M.投稿中

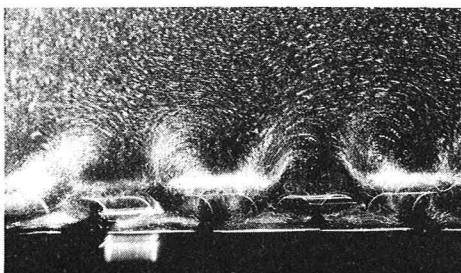
《表記》 f : 振動数(Hz), d_0 : 振動幅, ν : 流体の動粘性係数(cm^2/s), D : 半円柱直径(cm)
 λ : 半円柱間隔(cm), α : 半円柱高さ(cm), G : ガラスビーズの粒径



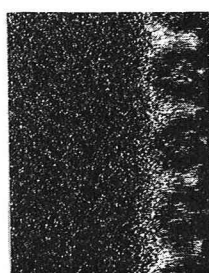
(a)



(b)



(c)



(d)

図-4
定常流れの三次元構造

$$\left[\begin{array}{l} \lambda = 2.5 \text{ cm} \\ \alpha = 0.7 \text{ cm} \\ d_0 = 1.4 \text{ cm} \\ f = 0.36 \text{ Hz} \\ \nu = 0.012 \text{ cm}^2/\text{s} \end{array} \right]$$

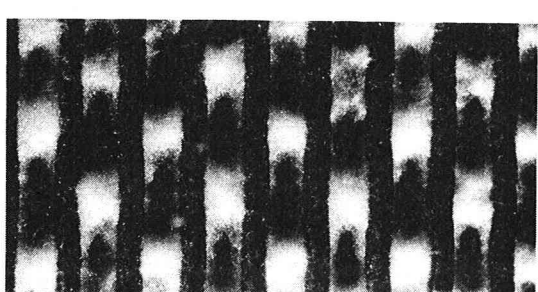


図-5
半円柱間に数々結められたガラスビーズによる
形成されるブリッフ・パターン

$$\left[\begin{array}{l} \lambda = 2.0 \text{ cm}, \alpha = 0.4 \text{ cm} \\ f = 1.82 \text{ Hz}, d_0 = 2.87 \text{ cm} \\ \nu = 0.009 \text{ cm}^2/\text{s}, G = 0.024 \text{ cm} \end{array} \right]$$